

II-292 縦スリット式透過性防波堤の波力特性分析

九州大学 ○正会員 小島治幸 正会員 吉田明徳
運輸省第四港湾建設局 正会員 木原 力

1.はじめに 近年、海水交換を促し、反射波を低減する機能をもつ透過性防波堤に関する研究が盛んに行われている。著者らも規則波および不規則波に対する透過性重力式防波堤の一形式である縦スリット式防波堤の消波特性を理論解析と水理模型実験により明らかにしてきた^{(1), (2)}。今回は、その防波堤に作用する波力の特性を究明することを目的として、理論解析の妥当性および堤体幅と波長の比や開口率の違いによる波力への影響を検討した。

2.理論解析 縦スリット部を有した壁体は、図-1に示すように、水平の断面形状が鉛直軸対称すべて同じ柱状体が等間隔 w_0 で直線上に並んでいるものと考えられるため、図-1に示すような流体域を考えればよい。この一定水深 h の流体域に角周波数 $\sigma (=2\pi/T; Tは周期)$ 振幅 a_0 の規則波が $-x$ 方向に進行する場合の流体運動は、非粘性、非圧縮性の完全流体の微少振幅波運動と仮定すると、

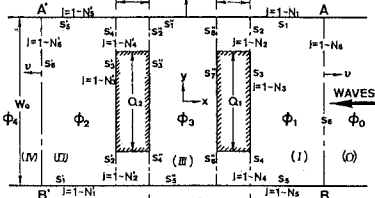


図-1 流体域図

速度ポテンシャル $\Phi(x, y, z; t) = ga_0/\sigma \cdot \phi(x, y) \cdot Z(z) \cdot \exp(-i\sigma t)$ が存在する。ここに、 g は重力加速度、 $Z(z) = \cosh k(z+h)/\cosh kh$ で、 k は分散方程式を満足する入射波の波数であり、 $\phi(x, y)$ はヘルムホルツの方程式を満足する無次元の関数(ポテンシャル関数)である。小島ら⁽¹⁾の解析法にしたがい、図-1のように仮想境界面を設けて流体域を分け境界面 S_6 と S_6' の内側領域の未知関数 ϕ_1, ϕ_2, ϕ_3 を0次の第一種ハンケル関数を用いてグリーンの公式で表わし、スリット内の流体運動は抵抗力項を線形化した流速に比例する抵抗係数 μ_1 と加速度に比例する抵抗係数 μ_2 を導入して運動方程式を表わすことにより速度ポテンシャルに関する境界値問題に帰着させ、あらかじめ決められた抵抗係数を用いて境界要素法によりこの問題を解き、未知量のポテンシャル関数 ϕ_1, ϕ_2, ϕ_3 および S_6 と S_6' における反射率と通過率を求めることができる。これより、縦スリット壁体に作用する流体動圧力を $p(x, y, z) \exp(-i\sigma t)$ すると、 $p(x, y, z) = i\rho g a_0 \phi(x, y) \cdot Z(z)$ より各壁体に作用する水平波力は次式で表される。

$$F_1/F_s = i \sum_{j=1}^{N_3} \{\phi_3 - \phi_1\} S_j \cdot h / Q_1, \quad F_2/F_s = -i \sum_{j=1}^{N_3} \{\phi_3 - \phi_2\} S_j \cdot h / Q_2 \quad (1)$$

ここに、 Q は壁体の幅、 H は入射波高、 S_j は離散化された境界上の要素長、 F_s は完全重複波の波力で $F_s = \rho g H Q h \tanh(kh)/kh$ である。また、前壁体と後壁体の波力の位相差は $\theta = \arg(F_2) - \arg(F_1)$ で求められ、前後の壁体を一体と考えた場合の合成波力 F_T は $F_T/F_s = (F_1 + F_2)/F_s$ で与えられる。

3.実験方法 実験は、全長28m、幅0.3mの水路を用い、水深を0.35mの一定として入射波高約4cmの規則波を相対水深(h/L)を0.08~0.36まで変えて模型堤体に作用させた。測定は、容量式波高計により入射波高と通過波高を計測して通過率を求め、反射率の測定には分離推定法を用いた。波圧分布の測定は、拡散型半導体圧力センサーを用い、鉛直方向に5cmおきにその分布を測定した。また、壁体に作用する全波力の測定は、鋼棒を埋め込んだコンクリート塊を水路上に定着させ、その鋼棒に堤体を固定し、歪ゲージをブリッジ回路をなすようにはり、それから得られる電位差から波力を算定した。

4.結果と考察 図-2は、1列壁体の前面と後面に作用する波圧の測定値と理論値を相対水深 h/L で示したものである。なお理論値を求める際の抵抗係数は、実験値の通過率と反射率にそれらの理論値が合うように決められ

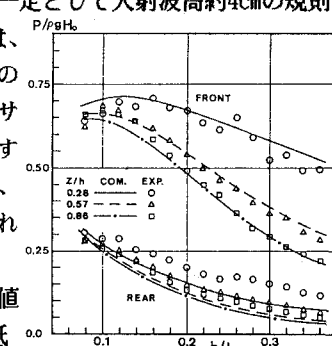


図-2 波圧と相対水深

たものを用いた⁽¹⁾。後面の波圧分布において理論値の方が測定値に比べやや小さめになる傾向にあるが、両者はよく一致しており、また波圧の分布を積分することにより得られる全波力も図-3に示すように理論値が測定値と十分な精度で合っている。従って、本解析法が波力を計算する際も合理的な結果を与えることが確認された。

図-4は、2列壁体の壁体間隔(D)と波長(L)の比に対する各壁体に作用する波力(F_1, F_2)と前後壁体を一体としたときの合成波力(F_T)、 F_1 と F_2 の位相差および通過率(K_t)と反射率(K_r)を表している。相対的な壁体間隔 D/L が大きくなるにしたがって、通過率は下がり、反射率は逆に高くなっている。これにともない前壁の波力が大きくなる。その後、 F_1 はいったん減少するが、 $D/L=0.55$ 付近から急激に増大する。この付近は、 F_2 が F_1 よりも大きくなるところもある。合成波力 F_s は、 $D/L=0.5$ で前壁と後壁にかかる波力の位相差が逆位相となり前後の波力が相殺してほぼ零となり、堤体には波力がほとんどかかるない状態となる。また、 $D/L < 0.5$ では、 F_T は最大でも F_s の60%程度で、透過性防波堤による波力の軽減効果が現れている。しかし、壁体間隔と波長の比が0.5よりも少しでも大きくなると、合成波力は急激に増大し、 F_s よりも大きくなる。このことは、入射波の波長が壁体間隔の2倍よりも小さくなると透過性の防波堤にかかる波力が不透過な直立堤のそれよりも大きくなることを意味し、構造物の安定性に関して非常に悪い条件となる。この様に、ある特定の波長で2列壁体に作用する波力が急激に増大する特性を、壁体の開口率(ε)や厚さを変えそれらの組合せにより、回避できるか調べたのが図-5である。結果的にはどの場合も、 $D/L=0.5$ 付近で波力は最小値を示し、それよりも大きくなると急に増大する傾向を示した。

図-6は、3列壁体に作用する合成波力と通過率(K_t)、反射率(K_r)を表している。何れの場合も2列壁体のようにある入射波長で合成波力が急激に増大する特性はみられず、 D/L 全般において完全重複波の波力 F_s の70%程度に低減されている。開口率を $\varepsilon_1=0.3, \varepsilon_2=0.2, \varepsilon_3=0.1$ のように後列ほど小さくすると合成波力がさらに10~20%低減され、またこの場合、通過率と反射率において他の2ケースよりも低い値となっている。従って、開口率が前壁から後壁に行くにしたがって小さくする壁体の組合せが、構造物の安定と消波に対し優れた条件となることが明らかになった。

5. あとがき この研究では、波力に関する理論解析の妥当性を検証し、縦スリット壁体の波力特性を明らかにした。2列壁体の場合、堤体幅が入射波長の半分より長くなると、堤体に作用する合成波力が急激に増大する特性があるが、3列壁体の場合この特性を抑えて広範囲の入射波長に対して安定した構造となることが判明した。

参考文献：(1) 小島ら；縦スリット式防波堤の水理特性の算定法に関する研究、第33回海講論文集、1986
 (2) 小島ら；不規則波に対する透過性防波堤の消波特性に関する数値算定法、第34回海講論文集、1987

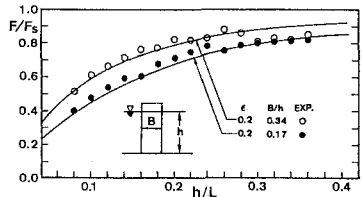


図-3 波力の理論値と実験値

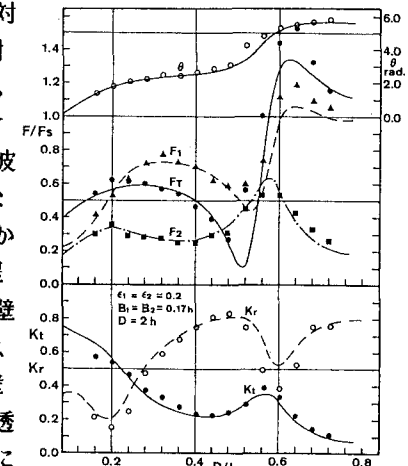


図-4 2列壁体の波力とKt, Kr

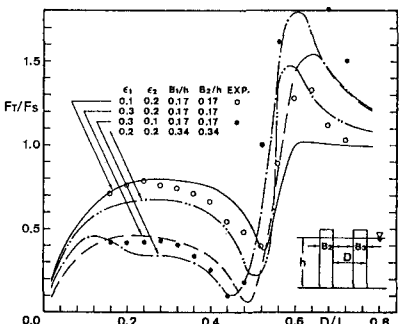


図-5 2列壁体の合成波力の特性

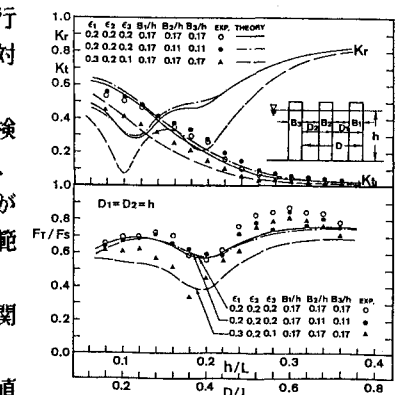


図-6 3列壁体の合成波力とKt, Kr